

辐射电磁波与物体尺度的关系 P7  
散射强度计算 P8  
SSP和LSP的区别 P9  
LSP共振条件 P10  
纳米球的LSP及其求解 P13  
LSP共振条件即Fröhlich条件 P16  
偶极子辐射 P18  
LSP共振应用 P20-21  
Mie理论及尺寸、形状相关性 P23  
(重点) 纳米颗粒间的LSP耦合 P31  
LSP复杂纳米结构-纳米壳 P34  
(重点) 体积等离子体、表面等离子体、局部表面等离子体对比 首页

近场不辐射能量，远场辐射。近场是一种隐失场  
角谱丰富

光照射在纳米颗粒上可以激发隐失场，如果颗粒位于金属-介质界面，便可以激发表面等离激元；反过来，表面等离激元可以在纳米颗粒中激发偶极辐射，从而实现束缚电磁场向辐射电磁场的转换。

本讲内容

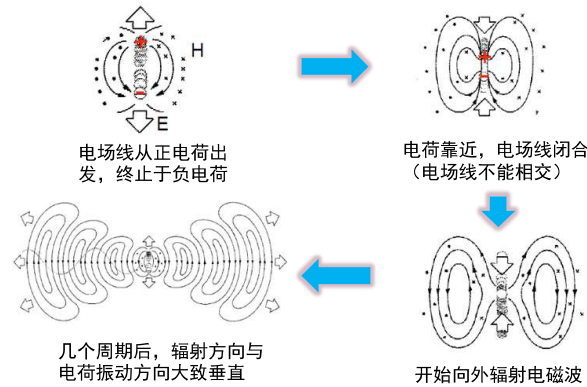
- ▶ 引言：光与小尺寸物体的相互作用
- ▶ 金属纳米粒子的局域表面等离子体(Localized Surface Plasmon, LSPs)
  - ▶ LSP与SPP的差异
  - ▶ 金属纳米粒子的色彩效果
  - ▶ 各种金属纳米粒子
- ▶ LSP的共振条件 ( $d \ll \lambda$ )
  - ▶ 偶极辐射问题
  - ▶ LSP的纳米粒子(准静态近似)
  - ▶ LSPR的大小和形状依赖性(Mie理论)
  - ▶ LSP的纳米棒
- ▶ LSP粒子之间的耦合
- ▶ LSP的复杂纳米结构-球壳
- ▶ 体积等离子体、SPP和LSP的比较

0 引言

- 光与小尺寸物体的相互作用：散射
- 分子：光场驱动下的偶极辐射
  - 纳米颗粒——偶极子近似
    - 绝缘体：瑞利散射
    - 半导体：光谱大于能隙对应共振吸收、发光（尺寸依赖）
    - 金属：在表面等离子体频率处共振吸收——局域表面等离子体
  - 微米颗粒
    - 同波长同量级或大于波长

偶极子振荡产生电磁波

偶极子产生电磁辐射的过程：



5. VP(体积等离子体)、SPPs和LSPs的比较

	Volume plasmons	SPPs	LSPs (nanosphere)
原理图			
模式性质	金属体内的电荷的集体振荡	金属表面的传播模式	不传播束缚模式
波的性质	纵向	横向&纵向	—
特征频率	$\omega_p = \sqrt{\frac{Ne^2}{\epsilon_0 m}}$	$\omega_{sp} = \frac{\omega_p}{\sqrt{1 + \epsilon_d}}$	$\omega_{lsp} = \frac{\omega_p}{\sqrt{1 + 2\epsilon_d}}$
与光的相互作用	不相互作用 (non-EM wave)	与光子耦合产生谐振	谐振消光 (散射+吸收)

小结

- ▶ 局域表面等离子体(LSP)
  - ▶ LSP: 限制在纳米粒子/微腔中的非传播SP
- ▶ LSP共振条件
  - ▶ 金属纳米粒子作为有效电偶极子
  - ▶ 准静态近似, Fröhlich条件, 大小和形状的依赖(Mie理论), 纳米棒的LSP, LSP的传感和生物医学应用
- ▶ 纳米粒子之间的LSP耦合
  - ▶ 横向和纵向模式, 间隙中的近场增强
- ▶ 复杂纳米结构——球壳的LSP
  - ▶ 纳米球和纳米谐振腔的LSP, 纳米壳中的等离激元混合
- ▶ 体积等离子体, SPP和LSP的比较

绝缘体(介质)小颗粒偶极子近似

- 光场驱动介质中的束缚电子做简谐振动
  - 束缚电子——洛伦兹模型

$\gamma$ : 阻尼频率  
 $K$ : 回复力常数  
 $\omega_0 = \sqrt{K/m}$

电偶极矩:  
$$\mathbf{p} = \frac{e^2}{m} \frac{1}{\omega_0^2 - \omega^2 - i\gamma\omega} \mathbf{E}_i$$
  
驱动的振荡电场

- 振动电荷对外辐射电磁波
  - 辐射的电磁波即为散射光

偶极辐射!

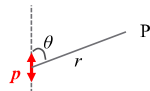
辐射电磁波与物体尺度关系

- 颗粒尺寸  $d \ll \lambda$ 
    - 向前散射强度更大
  - 颗粒尺寸  $d \approx \lambda$ 
    - 很强的向前散射
    - 不同波长的光散射强度相当 (白云)
    - 不同波长的光散射强度极值方向不同
-

## 散射强度计算

- 偶极辐射强度:

$$I = \frac{p^2 \omega^4}{32\pi^2 \epsilon_0 c^3 r^2} \sin^2 \theta$$



- 洛伦兹模型——电偶极矩:

$$\mathbf{p} = \frac{e^2}{m \omega_0^2 - \omega^2 - i\gamma\omega} \mathbf{E}_L$$

- 洛伦兹模型偶极辐射强度:

$$I_s = \frac{e^4 \omega^4}{32\pi^2 m^2 \epsilon_0 c^3 r^2} \left( \frac{1}{\omega_0^2 - \omega^2 - i\gamma\omega} \right)^2 E_L^2 \sin^2 \theta$$

Incoming intensity

- 结论

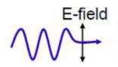
- 谐振处 (固有频率) 散射最强
- 频率越高 (波长越短), 散射越强
- 同时存在向前散射和向后散射

08

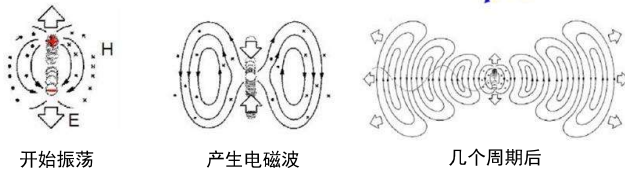
## 2. LSP共振条件

- 当金属纳米球足够小 ( $d \ll \lambda$ ), 它可以被看作一个有效电偶极子

时谐电场驱动自由电子的简谐振荡



振荡偶极子辐射 (光散射)



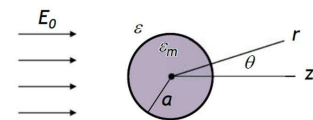
Dipole

12

## 求解

- 入射: 均匀静电场  $E_{inc} = E_0 \hat{z}$

- 球内电场 ( $E_{in}$ ) 和球外电场 ( $E_{out}$ ) 可以通过标势  $\Phi$ , 准静态下可利用  $E = -\nabla\Phi$  得到



- 电势满足 Laplace's 方程:  $\nabla^2 \Phi = 0$   
设球内标势为  $\Phi_{in}$ , 球外标势为  $\Phi_{out}$

- 边界条件:  $\Phi_{in}|_{r=a} = \Phi_{out}|_{r=a}$ ,  $\epsilon_0 \epsilon_m \frac{\partial \Phi_{in}}{\partial r} \Big|_{r=a} = \epsilon_0 \frac{\partial \Phi_{out}}{\partial r} \Big|_{r=a}$ ,  $\lim_{r \rightarrow \infty} \Phi_{out} = -E_0 z$

- 方程的解:

$$\Phi_{in} = -E_0 r \cos \theta + \frac{\epsilon_m - \epsilon}{\epsilon_m + 2\epsilon} \cdot E_0 r \cos \theta = -\frac{3\epsilon}{\epsilon_m + 2\epsilon} E_0 r \cos \theta$$

$$\Phi_{out} = -E_0 r \cos \theta + \frac{a^3}{\epsilon_m + 2\epsilon} \cdot \frac{\epsilon_m - \epsilon}{\epsilon_m + 2\epsilon} \cdot E_0 \cdot \frac{\cos \theta}{r^2}$$

作用场      球心处有效偶极子

为什么?

14

## LSP共振

- 极化率 ( $\alpha$ ) 的定义为:  $\mathbf{p} = \epsilon_0 \epsilon \alpha \mathbf{E}_0$

$$\therefore \mathbf{p} = \frac{\epsilon_m - \epsilon}{\epsilon_m + 2\epsilon} 4\pi \epsilon_0 \epsilon a^3 \mathbf{E}_0$$

$$\therefore \alpha = 4\pi a^3 \cdot \frac{\epsilon_m - \epsilon}{\epsilon_m + 2\epsilon}$$

$\epsilon_m = \epsilon_1(\omega) + i\epsilon_2(\omega)$   
金属的介电常数

$\epsilon$  背景介质的介电常数

- 谐振增强条件:

$$|\epsilon_m(\omega) + 2\epsilon| = \text{最小值} \quad \leftarrow \text{被称为 "Fröhlich条件"}$$

- 理想Drude金属:

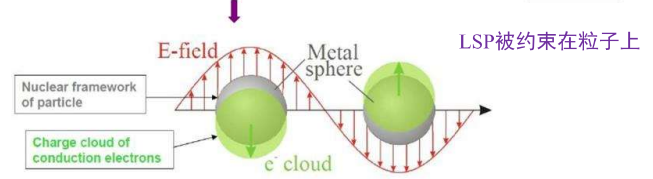
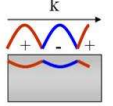
$$\epsilon_m(\omega) = 1 - \frac{\omega_p^2}{\omega^2} \rightarrow \omega_{lsp} = \frac{\omega_p}{\sqrt{1 + 2\epsilon}} \quad \text{可以用于传感}$$

16

## 1. LSPs: SPPs与LSPs的区别

- SPPs: 在金属-电介质延展界面上的SP传输 (光子耦合为SP)

- LSPs (Localized Surface Plasmons 局域表面等离子体): 在金属纳米粒子/纳米空腔的封闭表面上不传播的SPs



- LSP的激发将影响透过纳米粒子的光的

消光 (= 吸收 + 散射) → 色彩效果

消光比 = (吸收 + 散射) / 入射

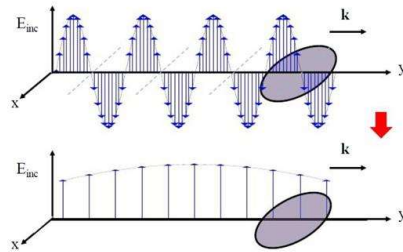
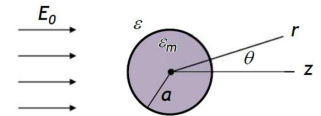
09

## 纳米球的LSP

- 如果粒子足够小 ( $2a \ll \lambda$ )

→ 看做电偶极子

- 准静态近似: 整个颗粒体的等相位



$$E_{inc}(r, t) = E_0 e^{i(k \cdot r - \omega t)}$$

- 大颗粒
- 不同位置相位不同

$$E_{inc}(r, t) = E_0 e^{-i\omega t}$$

- 小颗粒
- 不同位置相位几乎相同

Quasi-static approximation, small spherical metallic nanoparticle

13

## LSP共振

- 球内的电场为:  $\mathbf{E}_{in} = -\nabla \Phi_{in} = \frac{3\epsilon}{\epsilon_m + 2\epsilon} \mathbf{E}_0$  常数

- 球内的电位移: (考虑偶极子位于介电常数为  $\epsilon$  的介质中)

$$\mathbf{D} = \epsilon_0 \epsilon_m \mathbf{E}_{in} = \epsilon_0 \epsilon_m \mathbf{E}_{in} + \mathbf{P} = \epsilon_0 \epsilon \mathbf{E}_{in} + \mathbf{P}$$

- 偶极子对应电极化强度:

$$\Rightarrow \mathbf{P} = \epsilon_0 (\epsilon_m - \epsilon) \mathbf{E} = 3\epsilon_0 \epsilon \frac{\epsilon_m - \epsilon}{\epsilon_m + 2\epsilon} \mathbf{E}_0$$

- 球对应的电偶极矩:

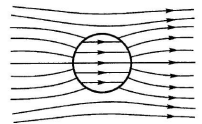
$$\mathbf{p} = PV = \frac{\epsilon_m - \epsilon}{\epsilon_m + 2\epsilon} 4\pi \epsilon_0 \epsilon a^3 \mathbf{E}_0$$

- 电偶极矩产生的电势:

$$\Phi_{out} = \frac{1}{4\pi \epsilon_0 \epsilon} \frac{\mathbf{p} \cdot \mathbf{r}}{r^3} = a^3 \cdot \frac{\epsilon_m - \epsilon}{\epsilon_m + 2\epsilon} \cdot E_0 \cdot \frac{\cos \theta}{r^2}$$

- 总的电势:

$$\Phi_{out} = -E_0 r \cos \theta + a^3 \cdot \frac{\epsilon_m - \epsilon}{\epsilon_m + 2\epsilon} \cdot E_0 \cdot \frac{\cos \theta}{r^2}$$

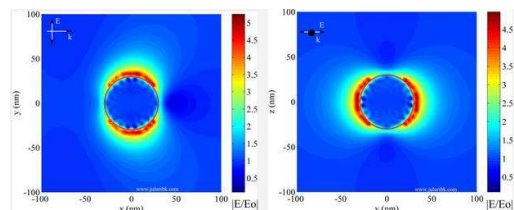


15

## LSP共振

- 电场可以通过  $E = -\nabla\Phi$  得到:

$$\mathbf{E}_{in} = \frac{3\epsilon}{\epsilon_m + 2\epsilon} \mathbf{E}_0 \quad \mathbf{E}_{out} = \mathbf{E}_0 + \frac{3\mathbf{n}(\mathbf{n} \cdot \mathbf{p}) - \mathbf{p}}{4\pi \epsilon_0 \epsilon} \cdot \frac{1}{r^3} \quad \left( \text{其中: } \mathbf{n} = \frac{\mathbf{r}}{r} \right)$$



60nm Au sphere in water, 532nm

- 共振时, 消光比 (散射+吸收) 较大      消光比 = (散射光+吸收光) / 入射光

- 近场增强 → 有许多重要应用, 如传感, 表面增强拉曼散射, 非线性增强, 数据存储, ...

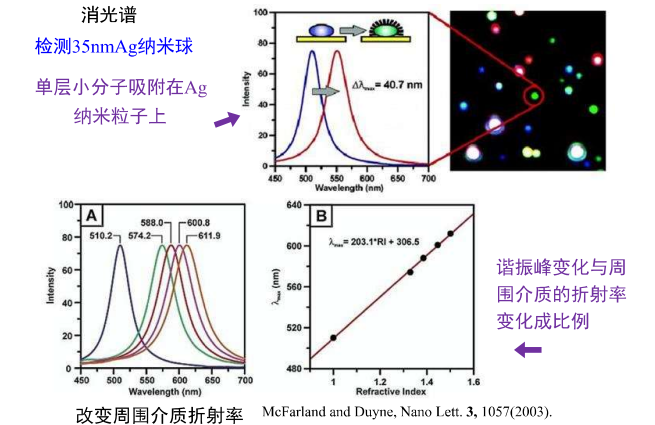
17

偶极子辐射

- $a \ll \lambda$  准静态下, 小球等效为理想偶极子
  - 在时变电场作用下, 电场感应出振荡偶极矩:  
$$\mathbf{p}(t) = \varepsilon_0 \varepsilon \alpha \mathbf{E}_0 e^{-i\omega t}$$
  - 偶极辐射  $\rightarrow$  对电磁波的散射
  - 散射电磁波:  $\mathbf{H}(t) = \mathbf{H}e^{-i\omega t}, \mathbf{E}(t) = \mathbf{E}e^{-i\omega t}$  (其中:  $\mathbf{n} = \frac{\mathbf{r}}{r}$ )
  - 其中:  
$$\mathbf{H} = \frac{ck^2}{4\pi} (\mathbf{n} \times \mathbf{p}) \frac{e^{ikr}}{r} \left(1 - \frac{1}{ikr}\right), \quad \text{其中: } k = \frac{2\pi}{\lambda}$$
$$\mathbf{E} = \frac{1}{4\pi\epsilon_0\epsilon} \left\{ k^2 (\mathbf{n} \times \mathbf{p}) \times \mathbf{n} \frac{e^{ikr}}{r} + [3\mathbf{n}(\mathbf{n} \cdot \mathbf{p}) - \mathbf{p}] \left( \frac{1}{r^3} - \frac{ik}{r^2} \right) e^{ikr} \right\}$$
- 辐射区:  $kr \gg 1$       近场区域:  $kr \ll 1$
- $\mathbf{H} = \frac{ck^2}{4\pi} (\mathbf{n} \times \mathbf{p}) \frac{e^{ikr}}{r}$  球面波       $\mathbf{H} = \frac{i\omega}{4\pi} (\mathbf{n} \times \mathbf{p}) \frac{1}{r^2}$
- $\mathbf{E} = \sqrt{\frac{\mu_0}{\epsilon_0\epsilon}} \mathbf{H} \times \mathbf{n}$  行波场:  $\mathbf{E} \perp \mathbf{n}, \mathbf{H} \perp \mathbf{n}$        $\mathbf{E} = \frac{3\mathbf{n}(\mathbf{n} \cdot \mathbf{p}) - \mathbf{p}}{4\pi\epsilon_0\epsilon} \frac{1}{r^3}$

18

LSP共振应用实例——单分子检测



20

LSPR的尺寸和形状相关性

- 准静态近似仅对在可见光和近红外光频段尺寸小于100nm纳米粒子有效, 无法捕捉尺寸的相关性。
  - 对纳米球的严格分析-Mie理论
- Mie theory (1908): 尺寸相关      形状相关
- $$E(\lambda) = \frac{24\pi^2 N a^3 \epsilon_d^{3/2}}{\lambda \ln(10)} \left[ \frac{\epsilon_r}{(\epsilon_r + \chi \epsilon_d)^2 + \epsilon_i^2} \right]$$
- $E(\lambda)$  = Extinction spectrum = absorption + scattering  
 $\chi$  = shape factor (2 for sphere, > 2 for spheroid)  
 $\epsilon_d$  = external dielectric constant  
 $\epsilon_r$  = real metal dielectric constant  
 $\epsilon_i$  = imaginary metal dielectric constant
- Mie, Ann. Phys. 1908, 24, 377

Arbitrarily shaped particles

23

形状相关性

- 纳米椭球/纳米棒的响应 - Gans 理论 (Mie理论的扩展)
- 消光系数 
$$\sigma_{ext} = \frac{2\pi V \epsilon^{3/2}_{med}}{3\lambda} \sum_j \frac{P_j^2 \epsilon''}{\left( \epsilon' + \frac{1-P_j}{P_j} \epsilon_{med} \right)^2 + (\epsilon'')^2} \quad (A > B = C)$$
- 去极化因子:  $P_A = \frac{1-e^2}{e^2} \left[ \frac{1}{2e} \ln \left( \frac{1+e}{1-e} \right) - 1 \right]$   
 $P_B = P_C = \frac{1-P_A}{2}$   
 $e = \sqrt{1 - \left( \frac{B}{A} \right)^2}$
- 纵横比:  $R = \frac{A}{B}$
- Link et al., J. Phys. Chem. B 103, 3073 (1999).

26

偶极子辐射

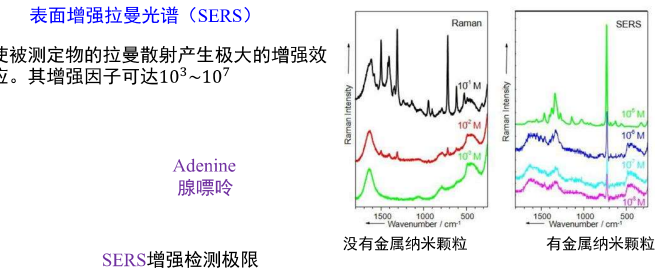
- 近场区域:  $kr \ll 1$
- $\mathbf{H} = \frac{i\omega}{4\pi} (\mathbf{n} \times \mathbf{p}) \frac{1}{r^2}$  仅有横向分量 ( $\mathbf{H} \perp \mathbf{n}$ ), 虚数 (其中:  $\mathbf{n} = \frac{\mathbf{r}}{r}$ )
- $\mathbf{E} = \frac{3\mathbf{n}(\mathbf{n} \cdot \mathbf{p}) - \mathbf{p}}{4\pi\epsilon_0\epsilon} \frac{1}{r^3}$  电场远大于磁场, 准静态下, 磁场消失
- 纵向  $E_r = \frac{1}{2\pi\epsilon_0\epsilon} \frac{p \cos\theta}{r^3}$  近场类似于纯电场!
- 横向  $E_\theta = -\frac{1}{4\pi\epsilon_0\epsilon} \frac{p \sin\theta}{r^3}$  忽略时谐因子  $\exp(-i\omega t)$ , 近场区电场表达式同偶极子电场表达式一致, 准静电场
- 辐射能流密度:  $\bar{\mathbf{S}} = \frac{1}{2} \text{Re}(\mathbf{E}^* \times \mathbf{H}) = 0$
- 近场不辐射能量, 远场辐射。近场是一种隐失场角谱丰富
- 
- 光照射在纳米颗粒上可以激发隐失场, 如果颗粒位于金属-介质界面, 便可以激发表面等离子激元; 反过来, 表面等离子激元可以在纳米颗粒中激发偶极辐射, 从而实现束缚电磁场向辐射电磁场的转换。

19

应用实例——太阳能电池

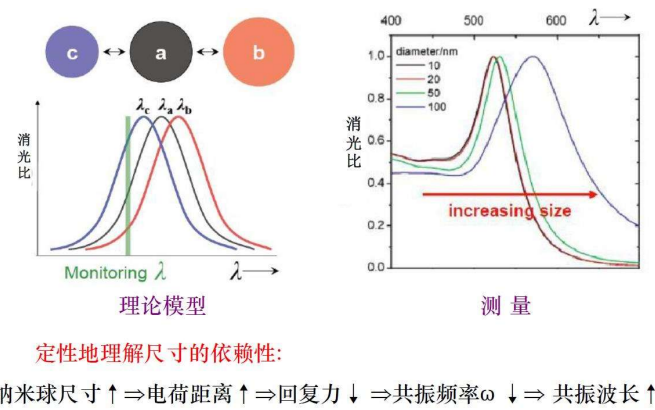
在太阳能电池中通过金属纳米粒子集光: 散射增强光进入活性介质的量; 局域场增强, 增强光与活性介质相互作用

应用实例——拉曼增强光谱



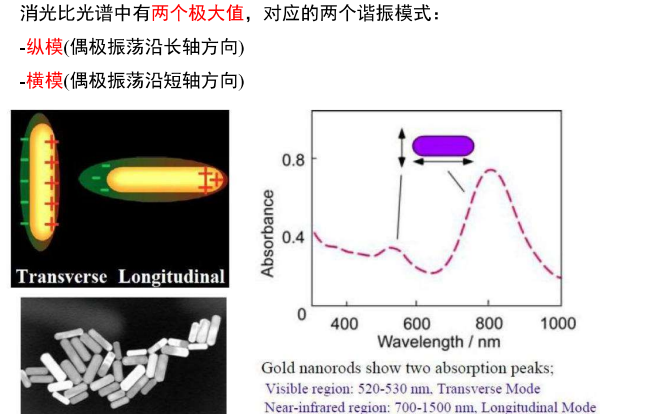
21

尺寸相关性



25

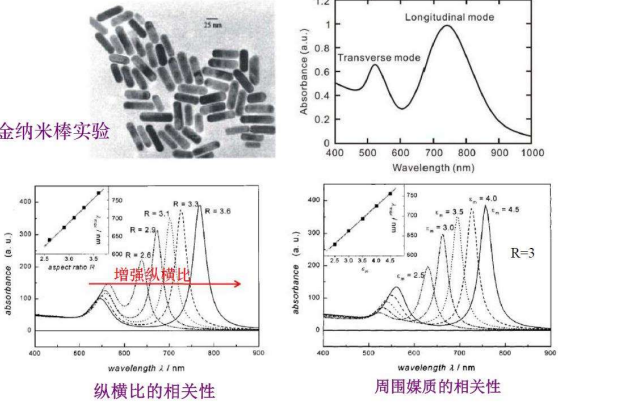
形状相关性



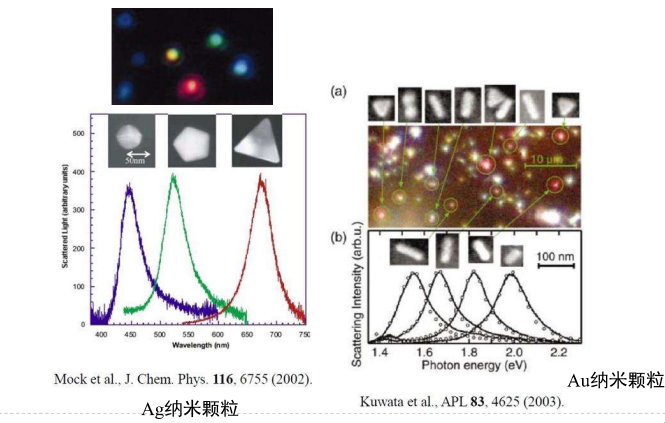
27



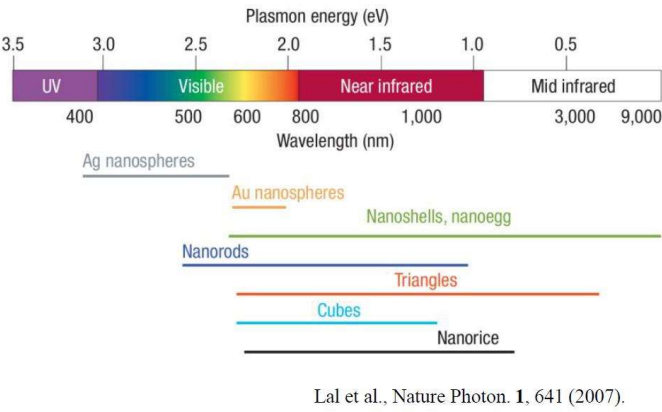
金纳米棒的横模和纵模



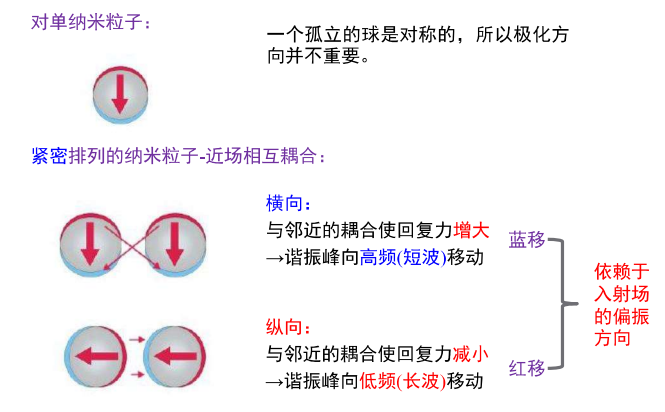
不同形状金属纳米颗粒的散射光谱



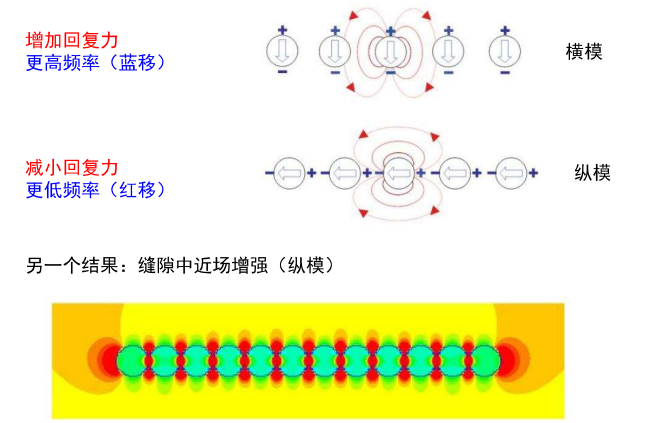
颗粒形状变化时LSPR的范围



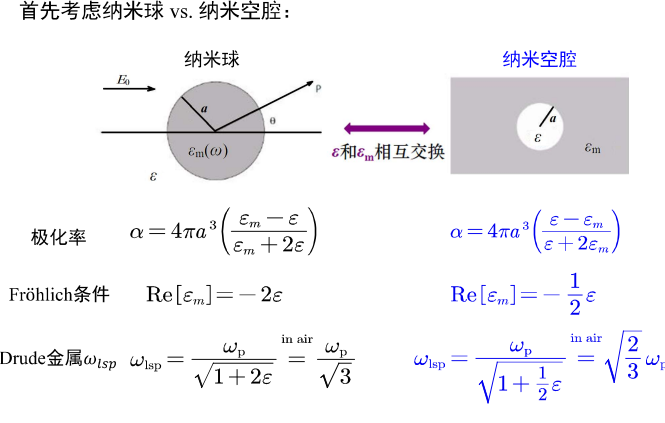
3. 纳米颗粒间的LSP耦合



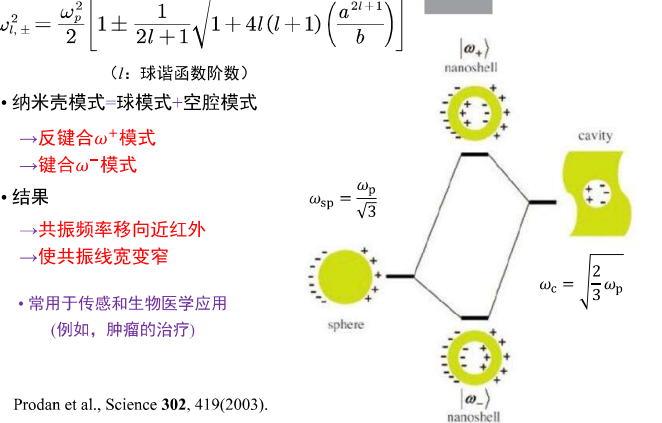
3. 纳米颗粒间的LSP耦合



4. LSPs的复杂纳米结构-纳米壳



纳米壳—等离子体复合



纳米壳-应用

